

## استفاده از الگوریتم POCS برای بازسازی داده‌های لرزه‌ای سه‌مؤلفه‌ای در حوزه فوریه کوآترینیون

امین افتخاری<sup>۱</sup> و حمیدرضا سیاهکوهی<sup>۲\*</sup>

۱. دانش‌آموخته کارشناسی ارشد، گروه ژئوفیزیک، واحد علوم و تحقیقات، دانشگاه آزاد اسلامی، تهران، ایران

۲. استاد، گروه فیزیک زمین، مؤسسه ژئوفیزیک، دانشگاه تهران، تهران، ایران

(دریافت: ۹۷/۳/۱، پذیرش نهایی: ۹۸/۲/۲۴)

### چکیده

لرزه‌نگاری سه‌مؤلفه‌ای از امواج لرزه‌ای در هر ایستگاه در سه راستا نمونه‌برداری کرده و اطلاعات امواج P و S را به صورت همزمان برداشت می‌کند. در برخی کاربردها استفاده از اطلاعات موج S به همراه اطلاعات موج P برآورد درستی از خصوصیات مخزن به دست می‌دهد. چون در برداشت‌های لرزه‌ای گاهی به علت شرایط منطقه یا خرابی دستگاه‌ها، نمونه‌برداری مکانی یکنواخت از امواج لرزه‌ای میسر نیست، باید از روش‌های درون‌یابی استفاده کرد تا ردلرزه‌های برداشت نشده بازسازی شوند. روش‌های مرسوم بازسازی ردلرزه‌های گم‌شده در لرزه‌نگاری سه‌مؤلفه‌ای، معمولاً با اجرای روش روی هر مؤلفه به‌طور جداگانه انجام می‌شود، که می‌تواند به ویژگی‌های ظریف در رکورد صدمه بزند. در این تحقیق روشی برای بازسازی همزمان هر سه مؤلفه به یک‌باره ارائه می‌شود (برگرفته از ایده استنتون و ساشی) که با استفاده از تبدیل فوریه کوآترینیون و الگوریتم تصویر بر روی مجموعه‌های محدب (QPOCS)، انجام می‌شود. نمایش برداری داده مختلط در حوزه فرکانس می‌تواند به وسیله قراردادن بخش‌های حقیقی و موهومی هر مؤلفه در آرگومان‌های یک کوآترینیون، به دست آید. این روش اجازه می‌دهد تا عملگرها بر روی هر دو مؤلفه به‌طور همزمان اعمال شوند. مزیت این روش به خاطر همپوشانی طیفی مؤلفه‌ها در حوزه فرکانس-عدموج می‌باشد. نتیجه حاصل از کاربرد این روش بر داده‌های سه‌مؤلفه‌ای مصنوعی و واقعی، با نتیجه حاصل از کاربرد الگوریتم POCS بر روی هر مؤلفه به‌تنهایی، مقایسه شده که نتایج بازسازی با استفاده از الگوریتم QPOCS دارای کیفیت بازسازی بهتری می‌باشند.

واژه‌های کلیدی: درون‌یابی سه‌بعدی، لرزه‌نگاری سه‌مؤلفه‌ای، تبدیل فوریه، کوآترینیون، مجموعه محدب.

### ۱. مقدمه

روی مجموعه‌های محدب (POCS) ارائه می‌دهد. اعداد حقیقی را می‌توان به صورت اعداد آبرمختلط یک‌بعدی در نظر گرفت. اعداد مختلط نیز اعداد دوبعدی از آبرمختلطها می‌باشند. ویلیام همیلتون از سال ۱۸۳۰ روی اعداد مختلط کار کرد و توانست جبر اعداد مختلط را به‌طور کامل تعریف کند. سپس برای توسعه این اعداد، روی مجموعه سه‌تایی از اعداد به صورت  $\vec{r} = a_0 + a_1 \vec{i} + a_2 \vec{j}$  کار کرد. همیلتون می‌دانست که اعداد مختلط را می‌توان به صورت نقاطی در یک صفحه دید و به دنبال راهی مشابه برای نقاط در فضا بود. نقاط در فضا به کمک مختصاتشان مشخص می‌شوند، که دسته‌های سه‌تایی از اعداد می‌باشند. همیلتون سال‌ها می‌دانست

برداشت داده‌های لرزه‌ای سه‌مؤلفه‌ای، در هر ایستگاه از امواج لرزه‌ای بازتابی در امتداد سه محور مختصات نمونه‌برداری می‌کند. اطلاعات بسیاری از داده‌های سه مؤلفه‌ای می‌تواند به دست آید اما نیازمند این است که پردازش‌های اعمالی ویژگی سه مؤلفه‌ای بودن داده‌ها را در نظر بگیرد تا ارتباط ظریفی که بین ابعاد مختلف داده است، حفظ شود. بازسازی داده معمولاً بر روی مؤلفه‌های افقی داده لرزه‌ای چندمؤلفه‌ای انجام نمی‌شود، و به‌طور معمول فقط بر روی مؤلفه شعاعی انجام می‌شود که به این ترتیب ارتباط بین مؤلفه‌های افقی نادیده گرفته می‌شود. این مقاله روشی برای بازسازی دو مؤلفه به‌طور همزمان با استفاده از تبدیل فوریه کوآترینیون (QFT) و تصویر بر

همکاران، ۲۰۰۷)، دی کانونولوشن چندمؤلفه‌ای (منانو و مازوتی، ۲۰۱۲) دارند. لارس کریگر و همکاران (۲۰۱۵)، از کوآترنیون برای ارائه راه‌حلی برای جهت‌یابی بهینه گیرنده‌های ژئوفیزیکی استفاده کردند.

نمایش برداری داده دو مؤلفه‌ای در حوزه فرکانس می‌تواند به‌وسیله قرارداد بخش‌های حقیقی و موهومی هر مؤلفه در آرگومان‌های یک کوآترنیون، به‌دست آید. این روش اجازه می‌دهد تا عملگرها بر روی هر دو مؤلفه به‌طور همزمان اعمال شوند. کوآترنیون‌ها با استفاده از تبدیل فوریه کوآترنیون (QFT) به حوزه فرکانس-عدد موج تبدیل می‌شوند و یک طیف دامنه منفرد برای هر دو مؤلفه با استفاده از نمایش قطبی کوآترنیون‌ها تعریف می‌شود (سنگوین و ال، ۲۰۰۰). بازسازی ردلرزه‌های مفقودشده یا نوفه‌دار با استفاده از تصویر بر روی مجموعه‌های محدب (POCS) انجام می‌شود. تصویر بر روی مجموعه‌های محدب (Projection Onto Convex Sets)، روش بازسازی براساس الگوریتم تکرارپذیر گرچ برگ و ساکستون (۱۹۷۲) است، که به‌طور گسترده‌ای در بازسازی تصاویر و سیگنال استفاده می‌شود. آتما و کبیر (۲۰۰۶) این روش را برای درون‌یابی مشاهدات لرزه‌ای مفقودشده به‌کار بردند. گالووی و ساشی (۲۰۰۷) و گاکا و همکاران (۲۰۱۰)، طراحی یک آستانه‌نمایی را برای بهبود همگرایی بازسازی POCS بررسی کردند. وانگ و همکاران (۲۰۱۰) واحدهای پردازش گرافیکی (GPU) را برای شتاب بخشیدن به درون‌یابی POCS به‌کار بردند. گاکا و همکاران (۲۰۱۳) روشی برای بهبود همگرایی و تضعیف نویز داده‌های لرزه‌ای با استفاده از این الگوریتم ارائه دادند. پینیلا و همکاران (۲۰۱۶) یک مدل آستانه‌گذاری خطی را برای درون‌یابی پنج‌بعدی داده‌های لرزه‌ای با استفاده از روش POCS تعریف کردند. ژیانگ (۲۰۱۷) الگوریتم POCS را برای بازسازی داده‌های لرزه‌ای متراکم در برداشت‌های نامنظم استفاده کردند. مزیت این روش در این است که تعامد مؤلفه‌های ورودی حفظ می‌شود (سیگنال‌ها در هم آمیخته نمی‌شوند) و

چگونه سه‌تایی‌ها را در هم ضرب یا با هم جمع کند. اما او همواره با مشکل تقسیم مواجه بود. او نمی‌توانست سه‌تایی‌ها را بر هم تقسیم کند، ولی می‌توانست چهارتایی‌ها را بر هم تقسیم کند. با استفاده از سه عدد در چهارتایی به‌عنوان مختصات یک نقطه در فضا، او می‌توانست نقاط فضایی را با این سیستم جدید اعداد مشخص کند (همیلتون، ۱۸۶۶). همیلتون این چهارتایی را کوآترنیون (Quaternion) نامید. کوآترنیون‌ها (آبر مختلط‌های ۴ بعدی) در ریاضیات، یک سیستم اعداد جابه‌جایی ناپذیر می‌باشند که سیستم اعداد مختلط را گسترش می‌دهند. همان‌طور که اعداد مختلط معمولی را می‌توان در صفحه دوبعدی نمایش داد، این اعداد را نیز می‌توان در صفحه چهاربعدی نمایش داد. کوآترنیون‌ها را به راحتی می‌توان با یکدیگر جمع و تفریق کرد، کافی است ضرایب پایه‌های دو کوآترنیون را جمع یا تفریق کنیم، ولی در مورد ضرب و یا تقسیم، کار بسیار پیچیده‌تر می‌باشد. کوآترنیون‌ها کاربردهایی در ریاضیات کاربردی و محض پیدا کردند، به‌خصوص در محاسباتی که شامل دَوَران‌های سه‌بعدی می‌شوند و از جمله در گرافیک سه‌بعدی رایانه‌ای. با این وجود در بسیاری از کاربردها با بردارها و ماتریس‌ها جایگزین می‌شوند. جبر چهارتایی‌ها اغلب با  $H$  (به احترام همیلتون) نشان داده می‌شود. از مکانیک کلاسیک نیوتن تا فیزیک کوانتوم، از کاربرد در حرکت ربات تا علم نجوم و حتی در رمزگشایی، سیستم کنترل وضعیت ماهواره از کوآترنیون‌ها استفاده می‌شود.

ریاضیدان‌هایی همچون کیلی، کلیفورد و فیزیکدانانی مانند ماکسول و تایت، در کاربرد و گسترش کوآترنیون‌ها نقش مهمی داشته‌اند. کوآترنیون‌ها از طرف فیزیکدان‌هایی مانند شرودینگر، هایزنبرگ و دیراک و همچنین تعداد زیادی از دانشمندان مشهور در فیزیک کوانتوم به‌کار رفته است. کوآترنیون‌ها کاربردهای دیگری در پردازش داده‌های لرزه‌ای مانند محاسبه نشانگرهای طیفی (بیهان و مارس، ۲۰۰۱)، آنالیز گذر زمان و تشخیص مرز (ویتن و شراگ، ۲۰۰۶)، آنالیز سرعت چند مؤلفه‌ای (گراندی و

و حداقل یکی از اعداد  $a_1, a_2, a_3$  غیر صفر باشند، یک کوآترنیون موهومی محض نامیده می‌شود. اگر  $a_0 + a_1i + a_2j + a_3k$  یک عدد کوآترنیون باشد، آنگاه  $a$  بخش اسکالر کوآترنیون و  $a_1i + a_2j + a_3k$  بخش برداری کوآترنیون نامیده می‌شوند. بخش اسکالر یک کوآترنیون همیشه حقیقی و بخش برداری آن همیشه موهومی محض می‌باشد. اگر تصور کنیم که هر کوآترنیون، یک بردار در فضای برداری ۴ بعدی می‌باشد، می‌توانیم تعریف کنیم که یک بردار به معنی بخش موهومی محض کوآترنیون است. با این قرارداد، یک بردار در فضای ۴-بعدی مشابه یک عنصر برداری در فضای  $\mathbb{R}^3$  است.

### ۳-۲. شکل قطبی کوآترنیون

هر کوآترنیون  $q = a_0 + a_1i + a_2j + a_3k$  را می‌توان به شکل قطبی نوشت:

$$q = |q|\{\cos(\phi) + \mu \sin(\phi)\} = |q|e^{\mu\phi} \quad (۴)$$

به طوری که:

$$\mu \in \mathbf{H}, S(\mu) = 0, |\mu| = 1, \mu = \frac{a_1i + a_2j + a_3k}{\sqrt{a_1^2 + a_2^2 + a_3^2}},$$

$$\cos(\phi) = \frac{a_0}{|q|} \quad (۵)$$

$\mu$  یک کوآترنیون واحد محض است،  $(|\mu| = 1)$ . توجه شود که ضرب کوآترنیون‌های نمایی، جابه‌جایی پذیر نمی‌باشد مگر اینکه هر دو کوآترنیون نمایی دارای محورهای یکسان باشند. بنابراین:

$$e^{\mu\alpha}e^{\mu\beta} = e^{\mu(\alpha+\beta)} = e^{\mu\beta}e^{\mu\alpha} \quad (۶)$$

چون هر دو نمایی معادله (۶)، دارای محور  $\mu$  یکسان می‌باشند. ولی:

$$e^{\mu_1\alpha}e^{\mu_2\beta} \neq e^{\mu_2\beta}e^{\mu_1\alpha} \quad (۷)$$

چون ضرب کوآترنیون‌ها جابه‌جایی پذیر نیست، و در معادله (۷) هر دو کوآترنیون نمایی دارای محورهای موهومی متفاوتی هستند.

شبهات‌های بین مؤلفه‌ها حفظ می‌شود که به بهبود کیفیت بازسازی کمک می‌کند.

### ۲. کوآترنیون

#### ۲-۱. تعریف کوآترنیون

یک کوآترنیون به شکل خطی به صورت:

$$q = a + bi + cj + dk \quad (۱)$$

تعریف می‌شود. در اینجا  $a, b, c, d$  اعداد حقیقی هستند و سه بردار  $i, j, k$  از ضرب زیر پیروی می‌کنند (جدول ۱):

$$\begin{aligned} i^2 = j^2 = k^2 = ijk = -1 \\ ij = k = -ji, \quad jk = i = -kj, \\ ki = j = -ik \end{aligned} \quad (۲)$$

هر کوآترنیون را می‌توان یک عنصر از فضای ۴ بعدی  $\mathbb{R}^4$  در نظر گرفت. مجموعه تمام کوآترنیون‌ها را به صورت زیر نمایش می‌دهند:

$$\mathbf{H} = \left\{ q = a_0 + a_1i + a_2j + a_3k : a_0, a_1, a_2, a_3 \in \mathbb{R} \right\} \quad (۳)$$

همچنین  $\{i, j, k\}$  را می‌توان یک سیستم مختصاتی متعامد در فضای سه‌بعدی حقیقی، در نظر گرفت.

جدول ۱. قوانین ضرب کوآترنیون‌ها.

×	1	i	j	k
1	1	i	j	k
i	i	-1	k	-j
j	j	-k	-1	i
k	k	j	-i	-1

#### ۲-۲. بخش‌های اسکالر و برداری

یک عدد کوآترنیون به شکل  $a + 0i + 0j + 0k$  که  $a$  یک عدد حقیقی است، یک کوآترنیون حقیقی نامیده می‌شود و یک عدد کوآترنیون به شکل  $0 + a_1i + a_2j + a_3k$ ، به طوری که  $a_1, a_2, a_3$  اعداد حقیقی باشند،

## ۴-۲. تبدیل فوریه کوترنیون

تبدیل فوریه کوترنیون پیوسته مستقیم و معکوس به وسیله روابط زیر نمایش داده می‌شوند (ال، ۱۹۹۲، ۱۹۹۳):

$$Q(\omega, \nu) = \int_{-\infty}^{+\infty} \int_{-\infty}^{+\infty} e^{-j\omega t} q(t, x) e^{-k\nu x} dt dx \quad (۸)$$

$$q(t, x) = \int_{-\infty}^{+\infty} \int_{-\infty}^{+\infty} e^{j\omega t} Q(\omega, \nu) e^{k\nu x} dt dx \quad (۹)$$

که در آن  $\omega$  فرکانس زمانی و  $\nu$  عدد موج فضایی می‌باشد. فرمول تبدیل فوریه پیوسته کوترنیون می‌تواند به تبدیل فوریه گسسته کوترنیون (سنگوین و ال، ۲۰۰۰) تعمیم داده شود:

$$Q(\omega, \nu) = \frac{1}{\sqrt{MN}} \sum_{x=0}^{M-1} \sum_{t=0}^{N-1} e^{-j2\pi(\frac{x\nu}{M} + \frac{t\omega}{N})} q(t, x) \quad (۱۰)$$

که در آن  $\mu$  هر کوترنیون محض واحد است. تبدیل فوریه مختلط استاندارد یک حالت خاص از این تبدیل است و وقتی رخ می‌دهد که  $\mu = i$  باشد و تابع در حال تبدیل، مختلط باشد (ال و سنگوین، ۲۰۰۷).

## ۳. روش پژوهش

هر داده دو مؤلفه‌ای در حوزه فرکانس به صورت زیر نوشته می‌شود:

$$\begin{aligned} D1(\omega, \bar{x}) &= D1_{real}(\omega, \bar{x}) + D1_{image}(\omega, \bar{x})i, \\ D2(\omega, \bar{x}) &= D2_{real}(\omega, \bar{x}) + D2_{image}(\omega, \bar{x})i. \end{aligned} \quad (۱۱)$$

کوترنیون‌ها می‌توانند هر دو مؤلفه معادله (۱۱) را به صورت زیر بیان کنند (استتون و ساشی، ۲۰۱۳):

$$Q(\omega, \bar{x}) = D1_{real}(\omega, \bar{x}) + D1_{image}(\omega, \bar{x})i + D2_{real}(\omega, \bar{x})j + D2_{image}(\omega, \bar{x})k. \quad (۱۲)$$

ابتدا یک کوترنیون محض واحد به عنوان  $\mu_1$  انتخاب می‌کنیم. سپس یک کوترنیون محض دیگر به صورت اختیاری که با نماد  $p$  نمایش می‌دهیم، انتخاب می‌کنیم، به طوری که با  $\mu_1$  موازی نباشد. (نیازی نیست که  $p$  دارای مدول واحد باشد) ضرب خارجی بین کوترنیون اختیاری  $p$  و  $\mu_1$  هم بر  $p$  و هم بر  $\mu_1$  عمود است، با بهنجار کردن

ضرب خارجی  $p$  و  $\mu_1$ ، کوترنیون  $\mu_2$  را به دست می‌آوریم:

$$\mu_2 = U[\mu_1 \times p] = U[\frac{1}{2}(\mu_1 p - p \mu_1)] \quad (۱۳)$$

به طوری که  $U[q] = \frac{q}{|q|}$  است. در این صورت می‌توانیم یک کوترنیون دلخواه  $q = a + bi + cj + dk$  را به شکل یک کمیت مختلط تعمیم یافته به فرم زیر نمایش دهیم:

$$q = A' + B' \mu_2 \quad (۱۴)$$

که  $A' = a' + b' \mu_1$  و  $B' = c' + d' \mu_1$  می‌باشد، بنابراین می‌توانیم بنویسیم:

$$q = (a' + b' \mu_1) + (c' + d' \mu_1) \mu_2 \quad (۱۵)$$

$A'$ ، بخش ساده و  $B'$  بخش پیچیده کوترنیون نامیده می‌شوند، چون آنها دارای پایه فضایی مختلط تعمیم یافته یکسانی هستند. با ساده کردن رابطه بالا داریم:

$$q = a' + b' \mu_1 + c' \mu_2 + d' \mu_3 \quad (۱۶)$$

در اینجا  $\mu_3 = \mu_1 \mu_2$  و  $\mu_3 \perp \mu_1$  و  $\mu_3 \perp \mu_2$  است.  $d'$ ،  $c'$ ،  $b'$  می‌توانند به وسیله استفاده از تغییر مبنا به دست آیند:

$$\begin{pmatrix} b' \\ c' \\ d' \end{pmatrix} = \begin{pmatrix} \dots \mu_1 \dots \\ \dots \mu_2 \dots \\ \dots \mu_3 \dots \end{pmatrix} \begin{pmatrix} b \\ c \\ d \end{pmatrix} = \begin{pmatrix} \mu_{11} & \mu_{12} & \mu_{13} \\ \mu_{21} & \mu_{22} & \mu_{23} \\ \mu_{31} & \mu_{32} & \mu_{33} \end{pmatrix} \begin{pmatrix} b \\ c \\ d \end{pmatrix} \quad (۱۷)$$

و  $a = a'$  است (ال و سنگوین، ۲۰۰۷). به این ترتیب می‌توانیم بنویسیم:

$$\begin{aligned} a' &= a \\ b' &= b\mu_{11} + c\mu_{12} + d\mu_{13} \\ c' &= b\mu_{21} + c\mu_{22} + d\mu_{23} \\ d' &= b\mu_{31} + c\mu_{32} + d\mu_{33} \end{aligned} \quad (۱۸)$$

ردیف‌های عملگر تبدیل مبنا در معادله (۱۸) به وسیله سه کوترنیون محض  $\mu_1$  و  $\mu_2$  و  $\mu_3$  که به عنوان بردارهای ردیفی نوشته می‌شوند، تعریف می‌شوند. بنابراین می‌توانیم بنویسیم:

$$Q(\omega, \nu) = Q_1(\omega, \nu) + Q_2(\omega, \nu) \mu_2 \quad (۱۹)$$

که در اینجا:

$$Q_i(\omega, \nu) = \frac{1}{\sqrt{MN}} \sum_{x=0}^{M-1} \sum_{t=0}^{N-1} e^{-\mu_1 2\pi i \left( \frac{x\nu}{M} + \frac{t\omega}{N} \right)} q_i(t, x) \quad (20)$$

بسیار شبیه به تبدیل فوریه دوبعدی هر سه مؤلفه است ولی معادل با آنها نیست. یک امتیاز و برتری تبدیل فوریه کوآترنیون دوبعدی (QFT 2D) این است که در تبدیل فوریه کوآترنیون، عمود بودن مؤلفه‌های فرکانسی حفظ می‌شود. در شکل ۱ سه سیگنال خطی با شیب‌های متفاوت رسم شده است. در شکل ۲، طیف دامنه در حوزه  $F - K$  برای هر سیگنال به صورت جداگانه و همچنین طیف دامنه در حوزه  $F - K$  با استفاده از تبدیل فوریه کوآترنیون که هر سه مؤلفه همراه با هم و در یک زمان به حوزه فوریه برده شده‌اند، رسم شده است. همان‌طور که در شکل ۲-ت، مشاهده می‌شود، اطلاعات دامنه مربوط به هر سه مؤلفه در حوزه فرکانس-عدد موج موجود است.

این موضوع اجازه می‌دهد که کدهای تبدیل فوریه سریع (FFT) موجود، برای محاسبه تبدیل فوریه کوآترنیون به کار روند. همچنین یک جعبه‌ابزار عالی برای کوآترنیون‌ها توسط سنگوین و بیهان (۲۰۰۵) نوشته شده است. مراحلی که برای تبدیل فوریه کوآترنیون دوبعدی باید انجام شود به صورت زیر است (استتون و ساشی، ۲۰۱۱):

۱- ابتدا کوآترنیون  $q = a + bi + cj + dk$  را تشکیل می‌دهیم که مقدار  $a$  می‌تواند برابر با صفر قرار گیرد، مقادیر  $b, c, d$  به وسیله مقادیر یک نمونه لرزه‌ای سه مؤلفه‌ای، جایگزین می‌شوند.

۲- تغییر مبنا برای کوآترنیون‌ها به وسیله ضرب اسکالر هر مؤلفه کوآترنیون با سه کوآترنیون پایه  $(\mu_1, \mu_2, \mu_3)$  به کار برده می‌شود تا  $q' = a' + b'i + c'j + d'k$  حاصل شود.

۳-  $q'_1 = a' + b'i$  و  $q'_2 = c' + d'i$  را تشکیل می‌دهیم.

۴- از تبدیل فوریه سریع مختلط دوبعدی (Complex FFT 2D)،  $Q'_1$  و  $Q'_2$  را به دست می‌آوریم:

$$Q'_1 = A' + B'i, \quad Q'_2 = C' + D'i \quad (21)$$

۵- کوآترنیون را در حوزه فوریه می‌سازیم که عبارت است از:

$$Q' = A' + B'i + C'j + D'k \quad (22)$$

۶- به وسیله ضرب اسکالر هر مؤلفه  $Q'$  با  $(\mu_1, \mu_2, \mu_3)^{-1}$ ، تغییر مبنا را معکوس می‌کنیم تا بتوانیم  $Q = A + Bi + Cj + Dk$  را به دست آوریم.

معکوس QFT هم به روشی مشابه انجام می‌شود. کردارهای دامنه و فاز تبدیل فوریه کوآترنیون دوبعدی،

### ۳-۱. الگوریتم QPOCS

در اینجا الگوریتم POCS برای داده‌های لرزه‌ای دوبعدی سه مؤلفه‌ای بر طیف دامنه کوآترنیون  $F - K_x$  (حاصل از تبدیل فوریه کوآترنیون) و برای داده‌های لرزه‌ای سه‌بعدی سه مؤلفه‌ای بر طیف دامنه کوآترنیون  $F - K_x - K_y$  (حاصل از تبدیل فوریه کوآترنیون) اعمال می‌شود. برای داده‌های دوبعدی سه مؤلفه‌ای، الگوریتم QPOCS در  $k$  امین تکرار به صورت زیر نوشته می‌شود:

$$Q^k(x, y) = Q^{obs}(x, y) + (I - S(x, y)) F_Q^{-1} T^k(\omega, k_x) F_Q Q^{k-1}(x, y) \quad k = 1, \dots, N \quad (23)$$

که در آن  $Q^{obs}(x, y)$  نشان‌دهنده اطلاعات هر سه مؤلفه از داده دوبعدی سه مؤلفه‌ای می‌باشد به طوری که هر مؤلفه از داده سه مؤلفه‌ای، یکی از مؤلفه‌های طیف کوآترنیون را ایجاد می‌کند.  $F_Q$  و  $F_Q^{-1}$  به ترتیب تبدیلات فوریه دوبعدی مستقیم و معکوس کوآترنیون هستند. در این علامت‌گذاری می‌توانیم بنویسیم:  $Q^k(\omega, k_x) = F_Q Q^k(x, y)$ .

$S$  اپراتور نمونه برداری است که برای نقاطی که در آنها داده موجود است مقدارش برابر یک بوده و برای نقاطی که داده لرزه‌ای ثبت نشده است دارای مقدار صفر است.

مؤلفه‌های طیف کوآترنیون را تشکیل می‌دهند.  $F_Q^{-1}$  و  $F_Q$  به ترتیب تبدیلات فوریه دوبعدی مستقیم و معکوس کوآترنیون هستند. در این علامت گذاری می‌توانیم بنویسیم:

$$Q^k(\omega, k_x, k_y) = F_Q Q^k(\omega, x, y) \quad (29)$$

عملگر آستانه  $T^k(\omega, k_x, k_y)$  به صورت زیر تعریف می‌شود:

$$T^k(\omega, k_x, k_y) = \begin{cases} 1 & \text{if } |D^{k-1}(\omega, k_x, k_y)| \geq \tau^k(\omega) \\ 0 & \text{if } |D^{k-1}(\omega, k_x, k_y)| < \tau^k(\omega) \end{cases} \quad (30)$$

آستانه‌های ابتدایی و نهایی به صورت زیر تعریف می‌شوند:

$$\tau_i(\omega) = \left(\frac{P_i}{100}\right) \max |D^{obs}(\omega, k_x, k_y)| \quad (31)$$

$$\tau_f(\omega) = \left(\frac{P_f}{100}\right) \max |D^{obs}(\omega, k_x, k_y)| \quad (32)$$

به این ترتیب الگوی آستانه خطی که قبلاً تعریف شد، برای هر فرکانس ثابت  $\omega$  به صورت زیر برای الگوریتم در سه بعد، دوباره نویسی می‌شوند:

$$\tau_i^k(\omega) = \tau_i(\omega) + [\tau_f(\omega) - \tau_i(\omega)](k-1)/(N-1) \quad (33)$$

$k = 1, \dots, N$

با اعمال یک اصلاح به الگوریتم *QPOCS*، این توانایی را به الگوریتم می‌دهد تا برای تضعیف نوفه از داده‌های لرزه‌ای نیز، مورد استفاده قرار گیرد (گأ و ساشی، ۲۰۱۱). برای این کار، داده مشاهده شده  $D^{obs}$  را به وسیله میانگین وزنی آن جایگزین می‌کنیم و الگوریتم *QPOCS* برای داده‌های دوبعدی و سه‌بعدی به صورت زیر اصلاح می‌شود:

$$Q^k(x, y) = \alpha Q^{obs}(x, y) + (I - \alpha S(x, y)) F_Q^{-1} T^k(\omega, k_x) F_Q Q^{k-1}(x, y) \quad (34)$$

$k = 1, \dots, N$

$$Q^k(\omega, x, y) = \alpha Q^{obs}(\omega, x, y) + (I - \alpha S(x, y)) F_Q^{-1} T^k(\omega, k_x, k_y) F_Q Q^{k-1}(\omega, x, y) \quad (35)$$

$k = 1, \dots, N$

عملگر آستانه  $T^k(\omega, k_x)$  به صورت زیر تعریف می‌شود:

$$T^k(\omega, k_x) = \begin{cases} 1 & \text{if } |D^{k-1}(\omega, k_x)| \geq \tau^k \\ 0 & \text{if } |D^{k-1}(\omega, k_x)| < \tau^k \end{cases} \quad (24)$$

استراتژی برای شتاب بخشیدن به الگوریتم مستلزم کاهش تدریجی آستانه  $\tau^k$  می‌باشد. در تکرارهای ابتدایی، یک آستانه بزرگ مورد نیاز است تا سریع در شکاف‌های ایجاد شده در نبود داده، قوی‌ترین رویدادها را پُر کند، کاهش آستانه اجازه می‌دهد که رویدادهای ضعیف‌تر که ممکن است نادیده گرفته شده اند یا به طور ضعیفی در طول تکرارهای اولیه بازسازی و احیاء شده‌اند، تکمیل شوند. در این تحقیق از الگوی آستانه خطی استفاده شده است. در ادامه آستانه‌های ابتدایی و نهایی را تعریف می‌کنیم:

$$\tau_i = \left(\frac{P_i}{100}\right) \max |D^{obs}(\omega, k_x)| \quad (25)$$

$$\tau_f = \left(\frac{P_f}{100}\right) \max |D^{obs}(\omega, k_x)| \quad (26)$$

$P_f$  و  $P_i$  اعدادی هستند که توسط کاربر تعریف می‌شوند و باید  $P_i \gg P_f$  باشد.  $N$  تعداد تکرارهای الگوریتم است و برای الگوی آستانه خطی معرفی شده، عبارت زیر را می‌توانیم تعریف کنیم:

$$\tau_i^k = \tau_i + [\tau_f - \tau_i](k-1)/(N-1) \quad (27)$$

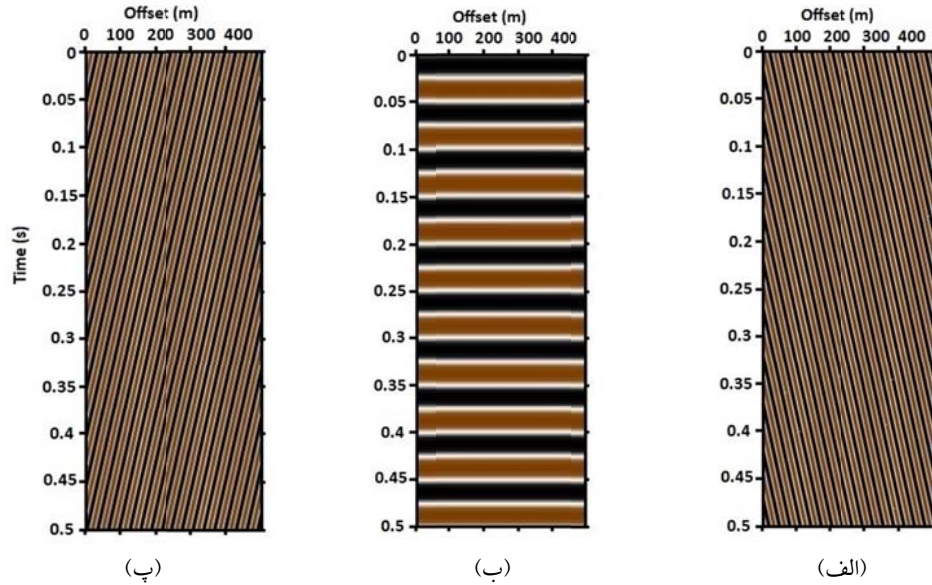
$k = 1, \dots, N$

برای داده‌های سه‌بعدی سه مؤلفه‌ای، الگوریتم *QPOCS* برای یک مقطع فرکانس ثابت  $\omega$  در حوزه  $f - x - y$  در  $k$  امین تکرار به شکل زیر نوشته می‌شود:

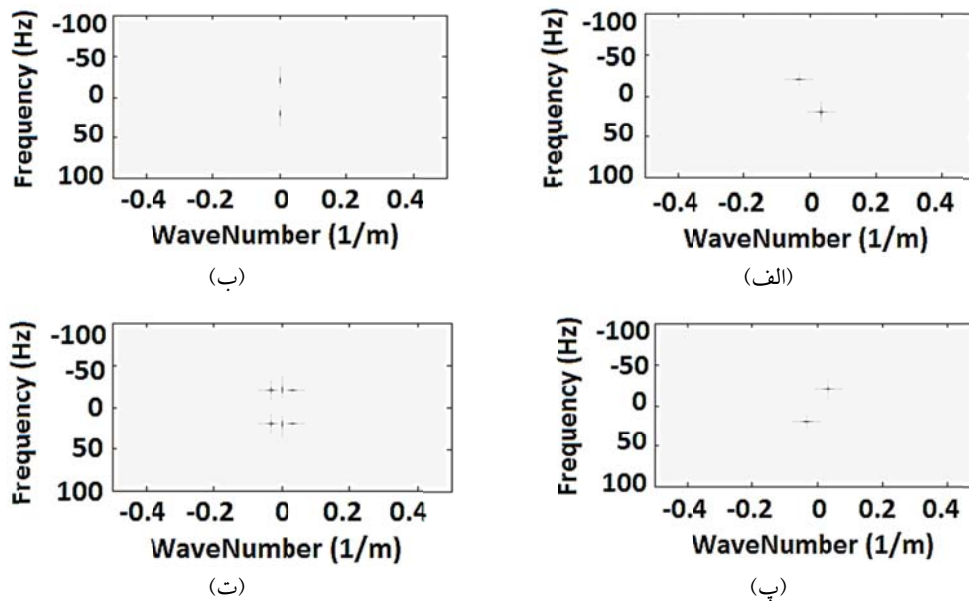
$$Q^k(\omega, x, y) = Q^{obs}(\omega, x, y) + (I - S(x, y)) F_Q^{-1} T^k(\omega, k_x, k_y) F_Q Q^{k-1}(\omega, x, y) \quad (28)$$

$k = 1, \dots, N$

که در آن  $Q^{obs}(\omega, x, y)$  نشان‌دهنده اطلاعات هر سه مؤلفه از داده سه‌بعدی سه مؤلفه‌ای بوده و هر کدام یکی از



شکل ۱. سه سیگنال خطی با شیب‌های (الف) مثبت، (ب) صفر و (ج) منفی.



شکل ۲. (الف)، (ب) و (پ) طیف دامنه  $f - k$  از سه سیگنال خطی نشان داده شده در شکل (۱). (ت) طیف دامنه  $f - k$  کوآترنیون برای هر سه مؤلفه.

#### ۴. کاربرد روش

۴-۱. داده مصنوعی دوبعدی سه‌مؤلفه‌ای حاوی سه رویداد خطی

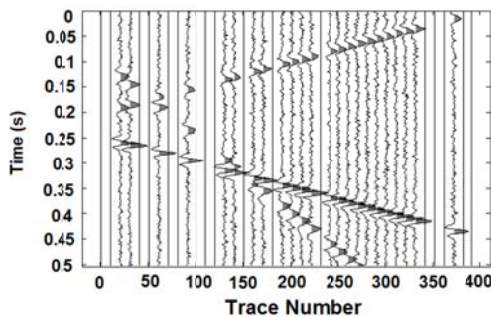
هر داده سه‌مؤلفه‌ای را با توجه به مفهوم کوآترنیون، می‌توانیم به صورت یک کوآترنیون بنویسیم. در این بخش، الگوریتم QPOCS را روی طیف کوآترنیون داده مصنوعی دوبعدی سه‌مؤلفه‌ای که از سه رویداد خطی

تشکیل شده است، اعمال می‌کنیم. در شکل‌های ۳-الف و ۳-ب و ۳-پ، یک رکورد مصنوعی دوبعدی سه‌مؤلفه‌ای را مشاهده می‌کنید که ۴۰ درصد از ردلرزه‌ها را به صورت اتفاقی حذف کرده‌ایم. رویدادهای خطی در هر سه مؤلفه، دارای دامنه و فرکانس متفاوتی می‌باشند. در شکل‌های ۴-الف و ۴-پ و ۴-ت با استفاده از الگوریتم POCS، ردلرزه‌های مفقود شده را بازسازی کرده‌ایم. در ادامه،

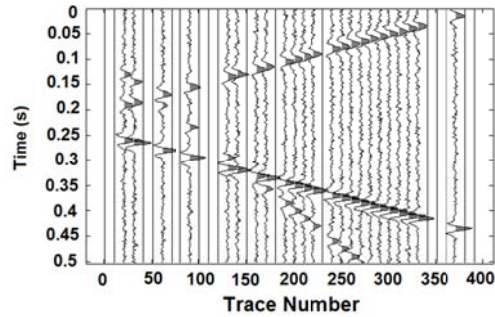
$$S/N = 10 \log \frac{\|d_o\|_2^2}{\|d-d_o\|_2^2}, (dB) \quad (36)$$

که در آن  $d_o$  داده اصلی و  $d$  داده بازسازی شده می‌باشد. شایان ذکر است که معادله (۳۶) تنها زمانی قابل استفاده است که داده مشاهده شده (بدون نوفه) موجود باشد. همانند شکل ۳ داده سه مؤلفه‌ای مصنوعی با سه رویداد خطی که هر کدام دارای فرکانس غالب متفاوتی می‌باشند، برای درصدهای مختلف حذف‌شدگی ردلرزه‌ها، مورد بررسی قرار گرفت و یک‌بار با الگوریتم QPOCS هر سه مؤلفه همزمان بازسازی شدند و سپس با استفاده از الگوریتم POCS هر مؤلفه به‌تنهایی بازسازی شد. با استفاده از معادله (۳۶)، نسبت سیگنال به نوفه برای هر مؤلفه محاسبه شده و نتایج حاصله در شکل ۵ نمایش داده شده است. همان‌طور که در نمودارها مشاهده می‌شود، بازسازی با استفاده از الگوریتم QPOCS دارای نسبت سیگنال به نوفه بیشتری نسبت به الگوریتم POCS برای درصدهای مختلف حذف‌شدگی ردلرزه‌ها، برای هر سه مؤلفه می‌باشد.

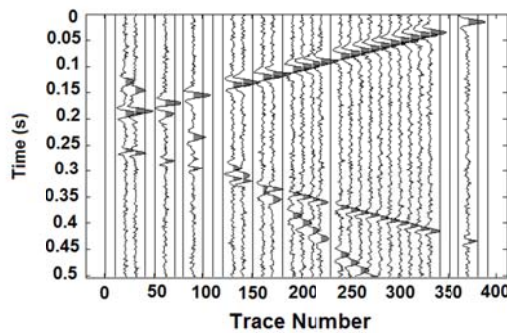
بازسازی داده دوبعدی سه‌مؤلفه‌ای را با استفاده از الگوریتم QPOCS برای هر مؤلفه به‌تنهایی انجام داده‌ایم، که در شکل‌های ۴-ب، ۴-ت، ۴-ج نتیجه را می‌توان مشاهده کرد. اجرای الگوریتم POCS و QPOCS در شرایط یکسان از نظر تعداد تکرار و میانگین وزنی انجام شده است. تعداد ۱۰۰ تکرار برای هر دو الگوریتم منظور شد و میانگین وزنی مقدار ۰/۳ در نظر گرفته شده است. همان‌طور که مشاهده می‌شود بازسازی هر سه مؤلفه با استفاده از الگوریتم QPOCS دارای نوفه کمتری نسبت به بازسازی هر مؤلفه به‌تنهایی است و مصنوعات کمتری در داده بازسازی شده به‌وسیله الگوریتم QPOCS مشاهده می‌شود. سپس برای درصدهای مختلف اقدام به حذف ردلرزه‌ها به‌صورت اتفاقی کردیم و بازسازی هر سه مؤلفه را با یکدیگر با استفاده از الگوریتم QPOCS و بازسازی هر سه مؤلفه به‌تنهایی، با استفاده از الگوریتم POCS را انجام دادیم و با استفاده از فرمول زیر نسبت سیگنال به نوفه را برای هر حالت محاسبه کردیم:



(ب)



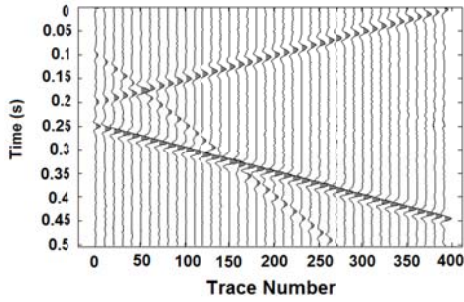
(الف)



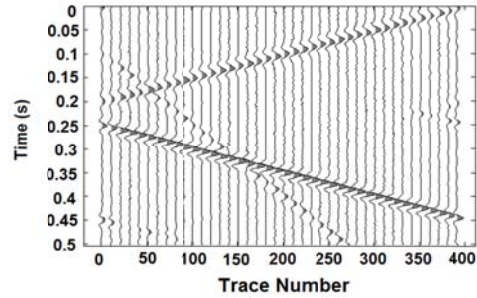
(پ)

شکل ۳. (الف) مؤلفه اول (ب) مؤلفه دوم و (پ) مؤلفه سوم از داده لرزه‌ای سه مؤلفه‌ای مصنوعی آغشته به نوفه تصادفی پس از حذف تصادفی ۴۰ درصد از ردلرزه‌ها. فرکانس مرکزی موجک در هر کدام از رویدادهای خطی، متفاوت انتخاب شده است.

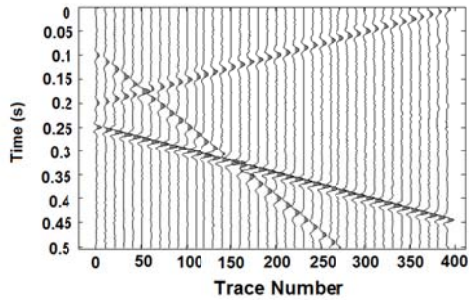




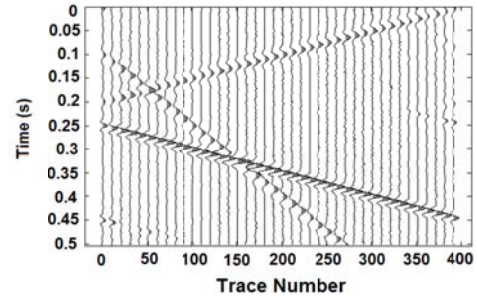
(ب)



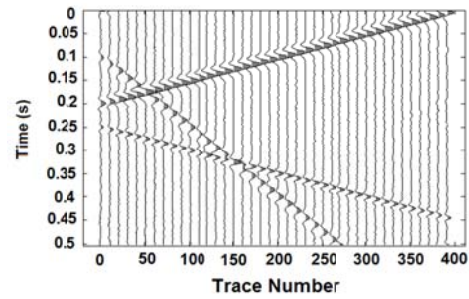
(الف)



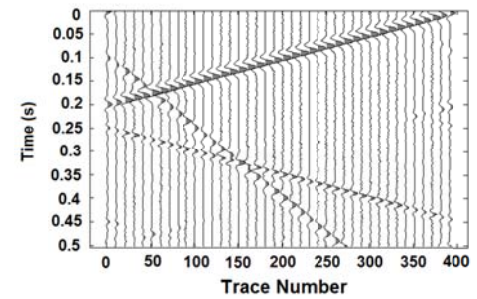
(ت)



(پ)

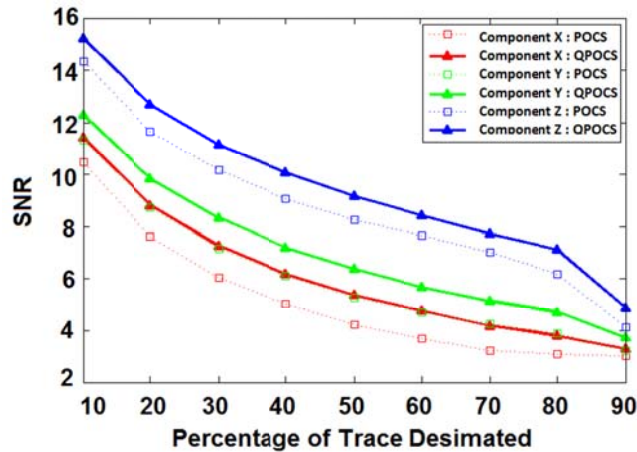


(ج)



(ث)

شکل ۴. (الف) و (ب) بازسازی مؤلفه اول از داده مصنوعی سه مؤلفه‌ای شکل (۳-الف) به ترتیب با استفاده از الگوریتم POCS و QPOCS. (پ) و (ت) بازسازی مؤلفه دوم از داده مصنوعی سه مؤلفه‌ای شکل (۳-ب) به ترتیب با استفاده از الگوریتم POCS و QPOCS. (ج) و (ث) بازسازی مؤلفه سوم از داده مصنوعی سه مؤلفه‌ای شکل (۳-پ) با استفاده از الگوریتم POCS و QPOCS.

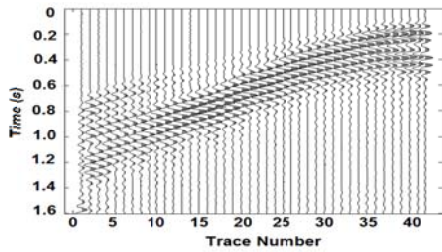


شکل ۵. نسبت سیگنال به نوفه برای درصد‌های مختلف حذف‌شدگی ردلرزه‌ها برای داده سه مؤلفه مصنوعی با سه رویداد خطی.

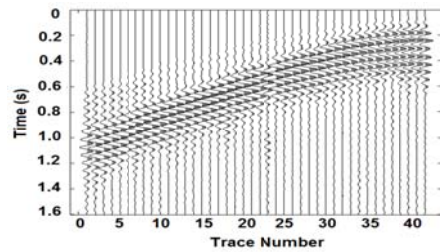
۲-۴. داده واقعی دوبعدی سه مؤلفه‌ای

در شکل ۶، سه مؤلفه از یک داده واقعی دوبعدی سه مؤلفه‌ای را مشاهده می‌کنید، شکل ۶-الف مؤلفه قائم و شکل ۶-ب مؤلفه افقی اول و شکل ۶-پ مؤلفه افقی دوم می‌باشند. در شکل ۷، ۴۰ درصد کل تریس‌ها را به صورت تصادفی حذف کرده‌ایم.

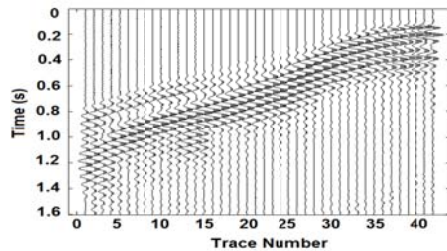
داده سه مؤلفه‌ای مربوط به منطقه Blackfoot در کشور کانادا است که در سال ۱۹۹۵ برداشت شده است. سپس یک‌بار با استفاده از الگوریتم QPOCS، هر سه مؤلفه را همزمان بازسازی کردیم و بار دیگر با استفاده از الگوریتم POCS برای هر مؤلفه به تنهایی، ردلرزه‌های مفقودشده بازسازی شدند.



(ب)

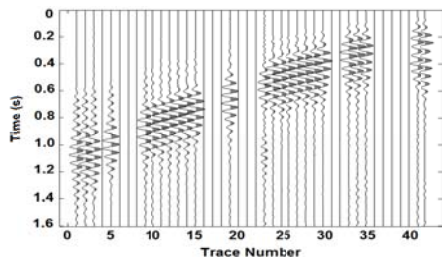


(الف)

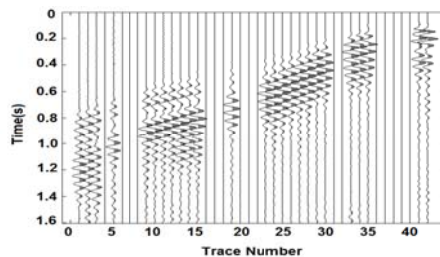


(پ)

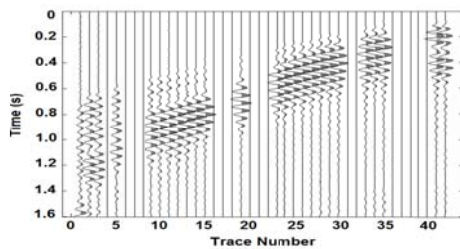
شکل ۶. نمونه‌ای از داده لرزه‌ای سه مؤلفه‌ای. (الف) مؤلفه قائم، (ب) مؤلفه افقی اول و (پ) مؤلفه افقی دوم.



(ب)



(الف)

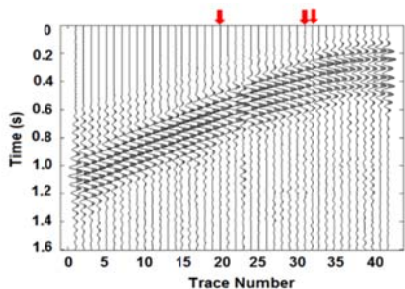


(پ)

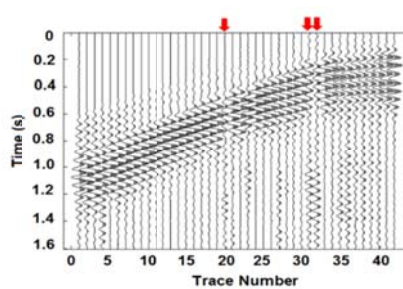
شکل ۷. داده لرزه‌ای سه مؤلفه‌ای شکل (۷) پس از حذف ۴۰ درصد از ردلرزه‌ها. (الف) مؤلفه قائم، (ب) مؤلفه افقی اول و (پ) مؤلفه افقی دوم.

مشخص شده، بر روی شکل‌ها به وضوح می‌توان به بازسازی بهتر الگوریتم QPOCS پی برد که نتیجه بازسازی با استفاده از این الگوریتم، دارای مصنوعات کمتر می‌باشد و همچنین، در قسمت‌های مشخص شده، الگوریتم POCS دارای کیفیت پایین‌تری در بازسازی اطلاعات مفقود شده می‌باشد. در شکل‌های ۸-الف و ۸-ب، ردلرزه‌های با شماره ۲۰، ۳۱ و ۳۲ با علامت فلش مشخص شده‌اند و بازسازی این ردلرزه‌ها با استفاده از الگوریتم POCS دارای دامنه کمتری نسبت به ردلرزه‌های متناظر با استفاده از الگوریتم QPOCS می‌باشد.

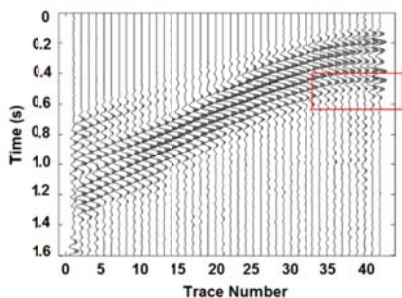
در شکل‌های ۸-الف، ۸-ب و ۸-ث نتیجه بازسازی با استفاده از الگوریتم POCS را مشاهده می‌کنید. اجرای الگوریتم POCS و QPOCS در شرایط یکسان از نظر تعداد تکرار و میانگین وزنی انجام شد و تعداد ۳۰۰ تکرار در هر پنجره زمانی با ۱۰۰ نمونه زمانی، برای هر دو الگوریتم منظور شد و میانگین وزنی مقدار ۰/۴ در نظر گرفته شده است. در شکل‌های ۸-ب، ۸-ت و ۸-ج نتیجه بازسازی با استفاده از الگوریتم QPOCS را مشاهده می‌کنید. نتیجه بازسازی الگوریتم‌های POCS و QPOCS در شکل ۸ با یکدیگر مقایسه شده است و در قسمت‌های



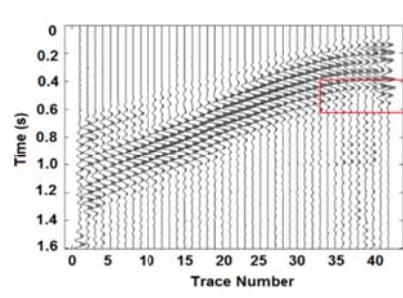
(ب)



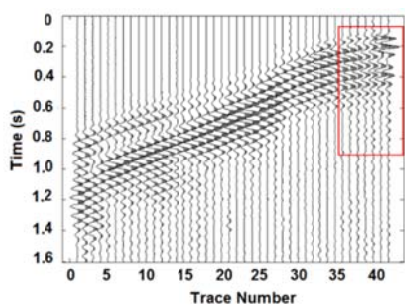
(الف)



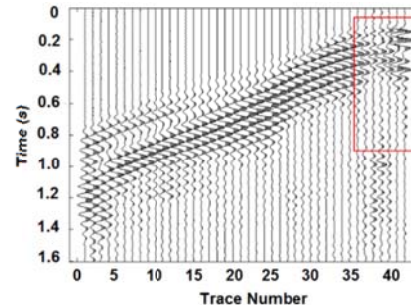
(ت)



(پ)



(ج)



(ث)

شکل ۸. (الف) و (ب) بازسازی ردلرزه‌های حذف شده مؤلفه قائم شکل (۷-الف) به ترتیب با استفاده از الگوریتم POCS و QPOCS. (پ) و (ت) بازسازی ردلرزه‌های حذف شده مؤلفه افقی اول شکل (۷-ب) به ترتیب با استفاده از الگوریتم POCS و QPOCS. (ث) و (ج) بازسازی ردلرزه‌های حذف شده مؤلفه افقی دوم شکل (۷-پ) به ترتیب با استفاده از الگوریتم POCS و QPOCS.

تبدیل فوریه کوآترنیون و الگوریتم *POCS*، برخلاف روش‌های مرسوم اقدام به بازسازی همزمان داده‌های سه مؤلفه‌ای کردیم. این روش فواید متمایزی دارد که به‌خاطر عمود بودن مؤلفه‌های ورودی بوده (سیگنال‌ها ترکیب نمی‌شوند) و ضمن حفظ تغییرات ظریف بین مؤلفه‌ها (خواه بزرگ یا کوچک باشند)، به بهبود کیفیت بازسازی داده‌ها نیز کمک می‌کند. مقایسه نتایج حاصل از بازسازی هر مؤلفه به‌تنهایی با استفاده از الگوریتم *POCS* و سه مؤلفه همزمان با استفاده از الگوریتم *QPOCS*، نشان داد که نتایج حاصل از بازسازی با استفاده از الگوریتم *POCS* و تبدیل فوریه کوآترنیون (که اجازه به کارگیری همزمان هر سه مؤلفه را فراهم می‌کند)، دارای کیفیت بالاتری بوده و در داده خروجی، درصد مصنوعات تولید شده، نسبت به اجرای الگوریتم *POCS* بر هر مؤلفه به‌تنهایی، کمتر می‌باشد.

#### مراجع

Abma, R. and Kabir, N., 2006, 3D interpolation of irregular data with a POCS algorithm, *Geophysics*, 71, 91–96.

Bihan, N. L. and Mars, J. I., 2001, New 2D complex and hypercomplex seismic attributes, Presented at the 71st Conference of the Society of Exploration Geophysicists, SEG.

Ell, T., 1992, Hypercomplex spectral transformations, PhD thesis, University of Minnesota.

Ell, T. A., 1993, Quaternion-fourier transforms for analysis of two-dimensional linear time-invariant partial-differential systems, 32nd IEEE Conf. Decision and Control, 1830–1841.

Ell, T. A. and Sangwine, S. J., 2007, Hypercomplex fourier transforms of color images, *IEEE Trans, Image Process*, 16, 22–35.

Galloway, E. and Sacchi, M. D., 2007, POCS method for seismic data reconstruction of irregularly sampled data: CSPG CSEG Convention, 555.

Gao, J. J., Chen, X. H., Li, J. Y. and Liu, G. C., 2010, Irregular seismic data reconstruction based on exponential threshold model of pocs method, *Applied Geophysics*, 7, 229–238.

Gao, J. and Sacchi, M. D., 2011, Convergence improvement and noise attenuation considerations for POCS reconstruction, Presented at the 73rd EAGE conference and

همچنین در شکل‌های ۸-پ و ۸-ت، رویدادهای مشخص شده در مستطیل، توسط الگوریتم *QPOCS* بهتر بازسازی شده است. در شکل‌های ۸-ث و ۸-ج، در مستطیل مشخص شده، مشاهده می‌شود که بازسازی ردلرزه‌ها با استفاده از الگوریتم *QPOCS*، بهتر بوده و الگوریتم *POCS* در بازسازی ردلرزه‌های مفقود شده، ضعیف عمل کرده و تعداد مصنوعات حاصل از اجرای الگوریتم در ردلرزه‌های بازسازی شده، نسبت به اجرای الگوریتم *QPOCS*، بیشتر می‌باشد.

#### ۵. نتیجه‌گیری

ژئوفون‌های سه‌مؤلفه‌ای این قابلیت را دارند تا از موج لرزه‌ای در سه راستا نمونه‌برداری کنند. در روش‌های مرسوم، بازسازی داده‌های سه مؤلفه‌ای با ردلرزه‌های گم‌شده، معمولاً به‌وسیله عمل بر روی هر مؤلفه به‌صورت جداگانه انجام می‌شود که می‌تواند به ویژگی‌های ظریف موجود در داده صدمه بزند. در این تحقیق با استفاده از

exhibition.

Gao, J., Stanton, A., Naghizadeh, M., Sacchi, M. and Chen, X., 2013, Convergence improvement and noise attenuation considerations for beyond alias projection onto convex sets reconstruction, *Geophysical Prospecting*, 61, 138–151.

Gerchberg, R. W. and Saxton, W. O., 1972, A practical algorithm for the determination of phase from image and diffraction plane pictures, *Optik* 35, 227–246.

Grandi, A., Mazzotti, A. and Stucchi, E., 2007, Multicomponent velocity analysis with quaternions, *Geophysical Prospecting*, 55, 761–777.

Hamilton, W., 1866, Elements of quaternions, Longmans Green.

Jiang, T., Gong, B., Qiao, F., Jiang, Y., Chen, A., Hren, D. and Meng, Y., 2017, Compressive seismic reconstruction with extended POCS for arbitrary irregular acquisition, SEG Technical Program Expanded Abstracts, 4272-4277, doi:10.1190/segam2017-17632472.1.

Krieger, L. and Grigoli, F., 2015, Optimal reorientation of geophysical sensors, A quaternion based analytical solution, *Geophysics*, 80(2), 19-30.

Menanno, G. M. and Mazzotti A., 2012, Deconvolution of multicomponent seismic data by means of quaternions: Theory and

- preliminary results, *Geophysical Prospecting*, 60(2), 217-238.
- Pinilla, J., Etcheverlepo, A. and Ojeda, G., 2016, A piecewise linear threshold model for five-dimensional interpolation of seismic data using POCS method, *SEG Technical Program Expanded Abstracts*, 4134-4138, doi:10.1190/segam2016-13952846.1.
- Sangwine, S. and Bihan, N., 2005, Quaternion Toolbox for Matlab, Software Library, Available at <http://qtfm.sourceforge.net/>
- Sangwine, S. J. and Ell, T. A., 2000, The discrete fourier transform of a colour image: *Proc. Image Processing II Mathematical Methods, Algorithms and Applications*, 430-441.
- Stanton, A. and Sacchi, M., 2011, Multicomponent seismic data reconstruction using the quaternion Fourier transform and POCS. *SEG Technical Program Expanded Abstracts*: pp. 1267-1272.
- Stanton, A. and Sacchi, M., 2013, Vector reconstruction of multicomponent seismic data, *Geophysics*, 78(4), 131-145.
- Wang, S. Q., Xing, G. and Yao, Z. X., 2010, Accelerating POCS interpolation of 3d irregular seismic data with graphics processing units: *Computers & Geosciences*, 36, 1292-1300.
- Witten, B. and Shragge, J., 2006, Quaternion-based signal processing, Presented at the 76th Conference of the Society of Exploration Geophysicists, SEG.

## Application of POCS algorithm for the reconstruction of three-component seismic data in quaternion Fourier domain

Eftekhari, A.<sup>1</sup> and Siahkoochi, H. R.<sup>2\*</sup>

1. M.Sc. Graduated, Department of Geophysics, Research and Science Branch, Islamic Azad University, Tehran, Iran

2. Professor, Department of Earth Physics, Institute of Geophysics, University of Tehran, Tehran, Iran

(Received: 22 May 2018, Accepted: 14 May 2019)

### Summary

Three-component (3C) seismic data acquisition method samples seismic wave field at each station along three Cartesian coordinates, simultaneously. Many reservoirs have been discovered and determined by the generation and recording of P waves only, but the P wave alone cannot provide a comprehensive description of the reservoir characteristics. In some studies, S-wave information is required in addition to P-wave information to get a correct estimation from reservoir properties. By the three component seismic acquisition, P and S waves' information can be recorded simultaneously. More often in seismic surveys, one cannot sample seismic wave field uniformly the along spatial direction due to environment limitations or instrument malfunctions; inevitably we have to use interpolation methods for reconstruction of missing traces. Reconstruction of missing or noisy traces is done using the projection onto convex sets (POCS). The POCS algorithm is a simple algorithm which is suitable for reconstruction of irregularly lost traces in a regular grid using multiple repetitive Fourier transforms. Conventional methods for reconstruction of missing traces in three component acquisition is usually done by implementation of POCS on each component separately, which could damage any subtle features in the record. This research introduces a method to reconstruct all three components at once using the quaternion Fourier transform and Projection onto Convex Sets (QPOCS). Quaternions in mathematics are a commutative numbers system that extend the complex numbers system. As the ordinary complex numbers can be displayed on two dimensions, these numbers can also be displayed on four dimensions. Quaternions were first introduced by William Rowan Hamilton when looking for a way to extend complex numbers to three dimensions. He knew how to sum and multiply three-dimensional numbers, but he was looking for a way to divide these numbers into each other. In 1843, Hamilton discovered that the division of quaternions requires a fourth dimension. Quaternion Algebra is often shown with H (in honor of Hamilton). The two-component data vector representation in the frequency domain can be obtained by putting the real and imaginary parts of each component in the arguments of a quaternion. This method allows operators to apply both components simultaneously. Quaternions are converted to Frequency-wavenumber domain by Quaternion Fourier Transform (QFT) and a single domain spectrum for both components is defined using the polar representation of the Quaternions. Quaternions have other applications in seismic data processing such as computing spectral attributes, multi-component velocity analysis and multi-component deconvolution. The advantage of this method is because of the spectral overlapping of the components in the frequency-wavenumber domain, thus the perpendicularity of input components is preserved (signals are not interconnected) and similarities between components are maintained that helps improve the quality of reconstruction. The coding of this method has been done in MATLAB environment and results of applying the proposed method on 3-component synthetic and real seismic data are compared to that of the POCS algorithm when applied on each component separately. The results of reconstruction using QPOCS algorithm indicate a better quality for reconstructed seismic data and in the output data, the percentage of produced artifacts is lower than that of the POCS algorithm on each component alone.

**Keywords:** Three-dimensional interpolation, Three-component seismic acquisition, Fourier transform, Quaternion, Convex set.

---

\*Corresponding author:

hamid@ut.ac.ir